

откуда коэффициент корреляции скоростей  $u_1^i$  и  $u_2^i$  равен

$$R_{12}^{ij} = (\mu_1 + \mu_2 - \mu_-)/2 \sqrt{\mu_1 \mu_2}. \quad (6)$$

Результаты контрольных измерений, проведенных по методике, основанной на соотношении (4), в осевой области турбулентной струи [6] на расстоянии 20 калибров от среза сопла представлены на рис. 4, а и б. На рис. 4, а показана зависимость коэффициента корреляции продольных составляющих скорости от расстояния между точками измерений при их разнесении вдоль оси потока, на рис. 4, б — зависимость коэффициента корреляции продольных и поперечных пульсаций скорости в одной и той же точке от относительного расстояния до оси потока.

Полученные результаты свидетельствуют об эффективности практического использования разработанного двухканального доплеровского измерителя в гидродинамических исследованиях.

## ЛИТЕРАТУРА

1. Ринкевичюс Б. С. Лазерная анемометрия.— М.: Энергия, 1978.
2. Morton J. B., Clark W. H. Measurement of Two-Point Velocity Correlation in a Pipe Flow Using Laser Anemometers.— J. Phys. E: Scientific Instruments, 1971, vol. 4, p. 36—44.
3. Борн М., Вольф Э. Основы оптики.— М.: Наука, 1970.
4. Ринкевичюс Б. С., Смирнов В. И. Оптические доплеровские измерения пространственной структуры турбулентности.— Труды МЭИ, 1979, вып. 422.
5. Гуменин Е. В., Смирнов В. И. Согласование рассеянных световых пучков доплеровского измерителя пространственной структуры турбулентности.— Труды МЭИ, 1979, вып. 422.
6. Ринкевичюс Б. С., Смирнов В. И. Оптический доплеровский метод исследования турбулентных потоков с использованием спектрального анализа сигнала.— Квант. электроника, 1973, № 2 (14).

Поступило в редакцию 13 января 1981 г.;  
окончательный вариант — 8 декабря 1981 г.

УДК 532.574

В. А. БЕЗУГЛОВ, В. А. МОГИЛКО, Ю. А. ЩЕРБИНА  
(Москва)

## ИЗМЕРЕНИЕ СКОРОСТИ ПЕРЕНОСА ПАССИВНОЙ ПРИМЕСИ С ПОМОЩЬЮ ЛДИС

В последнее время интенсивно развивается новое перспективное направление в теории турбулентности, связанное со статистическим описанием связи величин, характеризующих турбулентное движение сред [1, 2]. Эта связь выражается через совместные функции плотности распределения вероятности (СФПВ). Теоретические модели являются полуэмпирическими и поэтому требуют проведения систематических экспериментальных исследований. Большие надежды здесь связываются с использованием ЛДИС. К сожалению, получение аналогового сигнала скорости в многочастичном режиме ЛДИС в условиях перемежающейся и сильно флюктуирующей концентрации примеси сопряжено с большими трудностями, носящими иногда принципиальный характер. В данной работе предлагается метод измерения СФПВ скорости и концентрации примеси с помощью ЛДИС. Метод не требует преобразования доплеровской частоты в напряжение и позволяет обойтись серийными приборами. Впервые измерения СФПВ при помощи ЛДИС были описаны в работе [3].

Предлагаемая методика измерения СФПВ концентрации и скорости сохраняет преимущества методики [3] и вместе с тем позволяет в значительной мере сократить время измерений и объем обработки результатов. Она является развитием следующей известной идеи. Если на входы  $X$  и  $Y$  осциллографа поданы два случайных сигнала, то электронный луч выписывает на экране некоторые траектории. Нетрудно видеть, что суммарное время пребывания электронного луча в окрестности любой точки экрана за достаточно длительный период наблюдения есть величина СФПВ этих случайных сигналов. Случайная функция скорости сканируется по амплитуде, что для сигнала ЛДИС эквивалентно сканированию по частоте, а яркость луча осциллографа включается специальным устройством в моменты времени, когда доплеровская частота попадает в полосу пропускания спектроанализатора.

Блок-схема регистрирующей части экспериментальной установки для измерения СФПВ скорости и концентрации показана на рис. 1. Она состоит из светоприем-

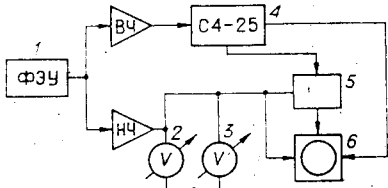


Рис. 1.

ника 1, усилителей высокочастотной (ВЧ) и низкочастотной (НЧ) составляющих доплеровского сигнала, интегрирующего вольтметра 2, квадратичного вольтметра 3, спектроанализатора 4, блока управления яркостью луча осциллографа 5 и осциллографа 6. Низкочастотная составляющая сигнала ЛДИС, которая для дифференциальной схемы в многочастичном режиме пропорциональна [4] концентрации светорассеивающих частиц в измерительном объеме, контролируется вольтметрами 2 и 3, измеряющими среднее и среднеквадратичное значения сигнала концентра-

ции. Одновременно она подается на вертикальные пластины осциллографа 6 и усилитель постоянного тока (УПТ) в блоке управления яркостью луча 5. Высокочастотная составляющая сигнала ЛДИС, мгновенная частота которой пропорциональна скорости частиц примеси, поступает на спектроанализатор 4, работающий в режиме измерения мощности. Разворотка горизонтальной оси осциллографа 6 синхронизирована с разверткой спектроанализатора 4 так, что горизонтальная координата положения луча соответствует в каждый момент времени частоте пропускания узкополосного фильтра спектроанализатора. Сигнал со спектроанализатора подается на блок управления яркостью луча в осциллографе 5, включая ее при попадании доплеровской частоты в полосу пропускания спектроанализатора. Блок управления яркостью состоит из УПТ с регулируемым коэффициентом усиления и компаратора, на один вход которого подается сигнал спектроанализатора, а на другой — сигнал с выхода УПТ. Компаратор включает яркость луча осциллографа, когда сигнал со спектроанализатора превышает сигнал УПТ.

Сигнал с ФЭУ включает в себя дробовые шумы, спектральная плотность которых пропорциональна мгновенной концентрации пассивной примеси  $C(t)$ . Пусть мгновенная доплеровская частота находится вне полосы пропускания узкополосного фильтра спектроанализатора. Тогда функция плотности вероятности (ФПВ) выходного сигнала  $u$  спектроанализатора есть

$$P(u) = [NC(t)]^{-1} \exp[-u/NC(t)], u \geq 0,$$

где  $NC(t)$  — мгновенная мощность шумов в полосе пропускания спектроанализатора, который, как отмечалось, работает в режиме измерения мощности. Если мгновенная доплеровская частота находится в пределах полосы пропускания узкополосного фильтра спектроанализатора, то в многочастичном режиме ЛДИС

$$P(u) = [(N+S)C(t)]^{-1} \exp[-u/(N+S)C(t)], u \geq 0,$$

$SC(t)$  — мгновенная мощность доплеровского сигнала. Предполагается, что уширение доплеровского сигнала меньше полосы пропускания спектроанализатора.

Чтобы избежать ложных шумовых срабатываний блока управления яркостью луча осциллографа и исключить корреляцию между вероятностью срабатывания этого блока и величиной концентрации, порог дискриминации компаратора выбирается пропорциональным мгновенному значению поступающего с УПТ сигнала, который, в свою очередь, пропорционален концентрации  $u_1 = bC(t)$ . В этом случае вероятности ложных  $\exp(-b/N)$  и правильных срабатываний  $\exp[-b/(N+S)]$  не зависят от концентрации примеси. Коэффициент усиления УПТ  $b$  подбирается таким образом, чтобы при значении сигнала концентрации, близком к среднему, дробовые шумы практически не вызывали срабатывания компаратора. Осредненное по времени свечение экрана осциллографа с точностью до постоянной составляющей, называемой шумами, пропорционально СФПВ скорости и концентрации. Метод, естественно, не позволяет измерить ФПВ скорости переноса пульевых концентраций. Экран осциллографа фотографируется с достаточной выдержкой, и полученные таким образом негативы фотометрируются на микрофотометре.

Описанный метод был использован для изучения СФПВ продольной скорости и концентрации в круглой затопленной воздушной струе. В качестве пассивной примеси, равномерно метившей вещество струи, служили пары машинного масла, вырабатываемые в специальном дымогенераторе.

В дифференциальной схеме ЛДИС применялся одномодовый лазер ЛГ-38А. Характерный размер измерительного объема 0,2 мм. Полосы пропускания ВЧ- и НЧ-каналов составляли соответственно 0,25—40 МГц и 0—30 кГц. Постоянная ЛДИС была равна 0,556 МГц/м/с.

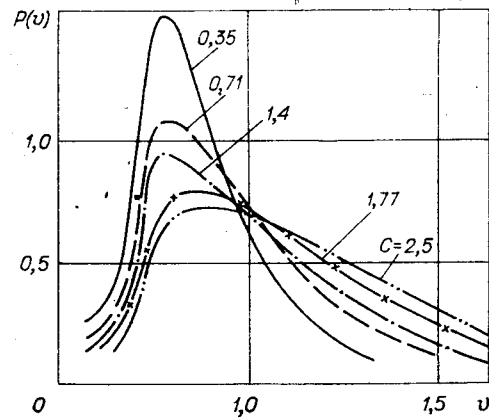


Рис. 2.

В схеме регистрации использовались следующие серийные приборы: спектропроанализатор С4-25, квадратичный вольтметр В3-28А, интегрирующий вольтметр В2-23, осциллограф С1-15.

В качестве примера на рис. 2 приводятся условные ФПВ пульсаций скорости  $P(v)$  при различных значениях концентрации. Величины скорости и концентрации нормированы на их средние значения в точке измерения. Кривые относятся к точке, находящейся на расстоянии 20 калибров от среза сопла и 2,6 калибра от оси струи, истекающей из сопла диаметром 5 мм, профиль которого выполнен по Витошинскому. Средние скорости на срезе сопла и в точке измерения были равны соответственно 48,6 и 4,2 м/с. Средняя скорость измерялась трубкой Пито.

В заключение следует отметить, что изложенная выше методика может быть, по-видимому, использована для измерения совместных функций плотности распределения вероятности пульсаций скорости и других скалярных величин в турбулентных течениях.

## ЛИТЕРАТУРА

1. Иевлев В. М. Турбулентное движение высокотемпературных сред.— М.: Наука, 1975.
2. Монин А. С. Уравнения для конечномерных распределений поля турбулентности.— ДАН, 1967, т. 177, № 5.
3. Безуглов В. А. Исследование совместной функции распределения турбулентных пульсаций скорости и концентрации примеси.— Труды МФТИ. Аэромеханика. Процессы управления. Долгопрудный: изд. МФТИ, 1974.
4. Щербина Ю. А. Многочастичные доплеровские измерители скорости и концентрации: Учебное пособие/Под ред. чл.-кор. АН СССР В. М. Иевлева.— Долгопрудный: изд. МФТИ, 1978.

Поступило в редакцию 27 января 1981 г.

УДК 532.574.7

П. Я. БЕЛОУСОВ  
(*Новосибирск*)

## ИЗМЕРИТЕЛЬ ЛОКАЛЬНОЙ СКОРОСТИ НА ОСНОВЕ СКАНИРУЕМОГО ОПТИЧЕСКОГО ЧАСТОТНОГО ДИСКРИМИНАТОРА

Применение методов оптической обработки информации с использованием оптических частотных дискриминаторов (ОЧД) позволяет отказаться от сложных электронных устройств обработки сигналов в лазерных доплеровских анемометрах и работать с узкополосными низкочастотными фотоприемниками. Измерители с оптической обработкой сигнала в отличие от гетеродинных систем с электронными процессорами свободны от влияния фазовых шумов, снижающих точность измерения скорости. Устройства с ОЧД могут работать в широком динамическом диапазоне интенсивностей световых сигналов, в том числе при малых уровнях, когда традиционные лазерные доплеровские анемометры функционируют только с корреляторами фотометров.

В [1, 2] сообщается об измерителе локальной скорости с ОЧД на основе конфокального интерферометра, работающего в режиме непрерывного сканирования за частотой светового сигнала. Недостаток таких измерителей заключается в необходимости применения систем автоподстройки частоты (АПЧ), представляющих собой достаточно сложные электронные устройства. В данной работе сообщается об измерителе скорости, в котором формирование зондирующего когерентного оптического сигнала осуществляется сканирующим ОЧД, одновременно выполняющим частотную дискриминацию рассеянного исследуемым объектом светового пучка. Измеритель, работающий по такому принципу, не нуждается в системах АПЧ.

Определим формулу сигнала на выходе измерителя, используя в качестве дискриминатора многолучевой интерферометр. Интенсивность зондирующего исследуемый объем лазерного пучка, сформированного ОЧД, задается формулой [1]

$$I_1 = I_0 [1 + A^2(v - v_0)^2]^{-1}. \quad (1)$$

Здесь  $I_0$  — интенсивность лазерного пучка,  $v$  — частота лазера,  $v_0$  — частота настройки интерферометра,  $A$  — постоянная, характеризующая аппаратную функцию многолучевого интерферометра. Интенсивность рассеянного в выбранном направлении света обусловлена  $I_1 |s|^2$ , где  $s$  — функция рассеяния. Частота рассеянного света равна  $v + \Delta v_D$ ,  $\Delta v_D$  — доплеровский сдвиг. После частотной дискриминации